



ارائه شده توسط :

سایت ترجمه فا

مرجع جدیدترین مقالات ترجمه شده

از نشریات معابر

# مدلسازی عددی پدیده‌ی ضربه قوچ با استفاده از یک مدل اندرکنش

## سیال‌سازه

### چکیده

در این مقاله ما برای تحلیل مسائل ضربه آبی (قوچ) در لوله‌های دارای دیواره‌های ضخیم یک دستورالعمل عددی برای اندرکنش بین سیال و سازه ارائه می‌نماییم. مدلسازی لوله با استفاده از نظریه‌ی تیرهای مسطح برنولی-اویلر در ارتعاشات طولی و عرضی انجام گرفت. برای حرکت دیواره‌ی لوله از روش المان محدود و الگوریتم نیومارک استفاده شده است، و در مورد سیال، روش مشخصه. بر عکس نظریه کلاسیک، این مدلسازی نشانگر اثرات جنبی اندرکنش سیال - سازه بر پارامترهای ضربه آبی در لوله‌ی الاستیک و ویسکوالاستیک می‌باشد.

کلمات کلیدی: کلید واژه‌ها: مکانیک سیالات محاسباتی- هیدرولیک - ساختار سیال- روش‌های مشخصه- عناصر

### محدود

### 1. مقدمه

در مطالعه‌ی کلاسیک پدیده‌ی قوچ در لوله‌ها معمولاً جریان یک بعدی در نظر گرفته می‌شود. مطالعه‌ی انجام شده در اینجا، بر اساس نظریه‌ی تیرهای مسطح برنولی - اویلر، برای لوله‌ها در ارتعاشات طولی و عرضی می‌باشد.

### 2. معادلات پایه و فرضیات در نظر گرفته شده

معادلات پایه بر اساس قوانین بقای جرم، مومنتوم برای سیال و دیواره‌ی لوله در تبدیلهای بدون تغییر آنتروپوپی می‌باشد.

### 1.2. معادلات سیال

این فرضیات در نظر گرفته شدند، معادلات جریان در یک سطح مقطع لوله می‌توانند به صورت سیستم هیپربولیکی که برای روش مشخصه مناسب است بیان شوند:

$$\frac{\partial(\rho_f A_f)}{\partial t} + \frac{\partial(\rho_f A_f V)}{\partial x} = 0 \quad (1)$$

$$\rho_f \frac{dV}{dt} + \frac{\partial P}{\partial x} + \rho_f g \frac{\partial z}{\partial x} - \frac{4T_f}{D} = 0 \quad (2)$$

$\varepsilon^r = \int_0^t \alpha(p(x, t - \tau) - p(x, 0)) \frac{\alpha(p(x, t) - p(x, 0)) D_m J(0)}{2e}$  اگر  $\varepsilon^r$  را تغییر شکل ارجاعی لحظه‌ای دیواره و

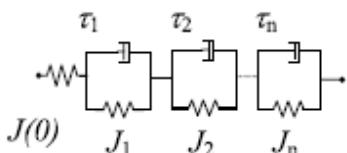
$p(x, 0)$  کرنش ناشی از آن باشد، تغییر شکل دیواره می‌تواند به صورت مجموع دو عبارت  $\varepsilon^r$  +

در نظر گرفته شود، و  $\alpha$  : پارامتری است که نوع مهار لوله را مشخص می‌کند، در حالتیکه لوله به صورت طولی مهار شده باشد، به صورت  $\alpha = 1 + \frac{e^2}{D_m^2} + 2veD_m - v^2(1 - \frac{e}{D_m})^2$  بیان شده و بنابراین معادله (1) به صورت زیر در می‌آید:

$$\frac{1}{\rho_f} \frac{dP}{dt} + \alpha^2 \frac{\partial V}{\partial x} - 2\alpha^2 v \frac{\partial \dot{u}}{\partial x} + 2\alpha^2 \frac{d\varepsilon^r}{dt} = 0 \quad (1')$$

که:

$$\alpha = (\rho_f \left( \frac{1}{k} + \frac{\alpha D_m J(0)}{e} \right))^{-1/2}$$



تصویر 1. مدل.

تابع تسلیم خوش می‌تواند به صورت زیر بیان شود:

$$J(t) = J(0) + \sum_{i=1}^n J_i (1 - \exp(-t/\tau_i))$$

که مطابق با مدل کلوین - وویگت که در تصویر 1 نشان داده شده است می‌باشد.

## 2.2. معادلات دینامیکی دیواره‌ی لوله

بر اساس فرضیاتی که قبلاً ذکر شد و همچنین در صورتیکه مقدار تغییر شکلها ناچیز باشد، معادلات دینامیکی دیواره‌ی لوله در جهت‌های طولی و عرضی به صورت زیر در می‌آید:

$$A_p E^* \frac{\partial^2 u}{\partial x^2} - m_p \frac{\partial^2 u}{\partial t^2} + \frac{A_p D v}{2e} \frac{\partial P}{\partial x} + T_f A_f = 0 \quad (3)$$

$$E^* I \frac{\partial^4 w}{\partial x^4} + m \frac{\partial^2 w}{\partial t^2} + 2v m_f \frac{\partial^2 w}{\partial X \partial t} + V^2 m_f \frac{\partial^2 w}{\partial x^2} = 0 \quad (4)$$

که در روابط بالا  $E^* = E \left( 1 + \frac{\tau \partial}{\partial t} \right)$  عملگر دیفرانسیلی است که مربوط به مدول مصالح دیواره‌ی لوله می‌باشد.

عبارت  $\frac{A_p D v}{2e} \frac{\partial P}{\partial x}$ ، در معادله‌ی (3)، عبارتی است که در آن با استفاده ضریب پواسون تاثیرات انبساطی که در لوله

بر اثر فشار سیال وارد می‌شود بر رفتار طولی نشان داده می‌شود. در معادله‌ی (4) دو عبارت،

$V^2 m_f \frac{\partial^2 w}{\partial x^2}$  و  $2v m_f \frac{\partial^2 w}{\partial X \partial t}$  نشان‌دهنده‌ی سختی خمی و نیروی لختی هستند، و دو عبارت دیگر،

بیانگر نیروهای مورد نیاز برای تغییر جهت گردش و پیچش المان سیال تحت اثر دیواره می‌باشند.

### 3. شرایط مرزی و اولیه

شرایط اولیه همان شرایط مربوط به جریان ماندگار و تعادل در دیواره‌ی لوله هستند.

### 4. حل عددی

حل عددی معادلات (1')، (2)، (3) و (4) در شرایط مرزی و اولیه با استفاده از روش اندرکنش سیال – سازه انجام می‌شود: در هر گام زمانی ابتدا معادلات مربوط به سیال را با روش مشخصه (MOF) با یک شبکه‌ی منظم حل نموده و سپس معادلات دینامیکی دیواره‌ی لوله با روش‌های المان محدود در هر گره دارای سه درجات آزادی حل می‌شوند. الگوریتم کلی به این صورت است:

(الف) در مورد سیالی که شبیب منحنی‌های مشخصه آن:  $dx/dt = V \pm a$  باشد

$$\frac{\delta P}{\delta t} \pm \rho_f a \frac{\delta V}{\delta t} + \frac{2\rho_f a^2}{V \pm a} \left\{ V \frac{\delta \epsilon^r}{\delta t} \pm a \frac{\partial \epsilon^r}{\partial t} \right\} \pm \rho_f a g \frac{\partial z}{\partial x} \mp \frac{4aT_f}{D} - 2v \rho_f a^2 \frac{\partial \dot{u}}{\partial x} = 0 \quad (5)$$

(ب) در صورتیکه شبیب منحنی مشخصه  $dx/dt$  برابر صفر باشد

$$\frac{\delta \epsilon^r}{\delta t} = \int_0^t \frac{\alpha D_m}{2e} \frac{\partial P(x, t-\tau)}{\partial t} \frac{dJ(\tau)}{d\tau} d\tau \quad (6)$$

(پ) استفاده از روش المان محدود برای دیواره‌ی لوله

دو معادله‌ی دینامیکی (3) و (4) که معادلات حرکت دیواره‌ی لوله می‌باشند را می‌توان به المانهای محدود مجزا نمود.

بنابراین بعد از جداسازی سیستمهای ارتعاشی دینامیکی و تبدیل آنها به دو سیستم خواهیم داشت:

(پ.1) ارتعاشات طولی دینامیکی

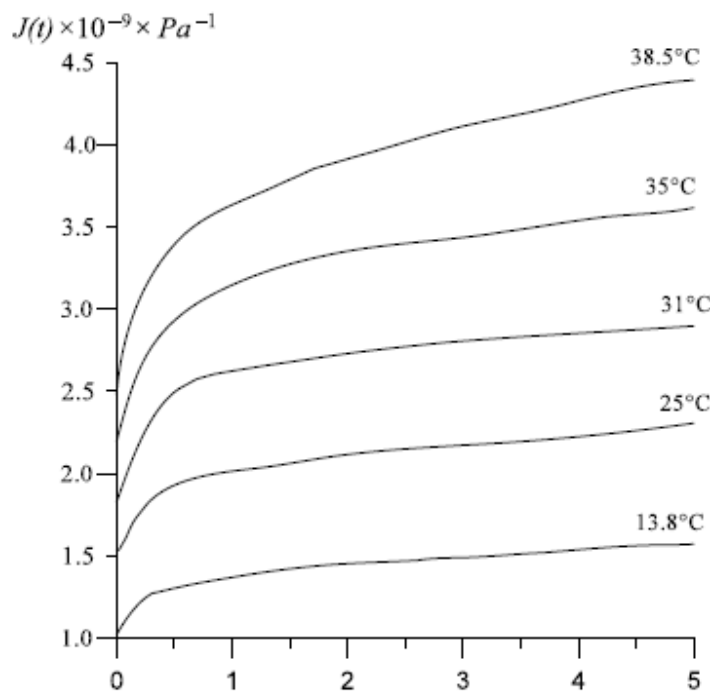
$$\begin{aligned} [m] &= \int_0^L \rho_p A_p [N]^T [N] dx \\ [c] &= \int_0^L A_p E \tau [N']^T [N'] dx \\ [k] &= \int_0^L A_p E [N']^T [N'] dx \\ \{f\} &= - \int_0^L \left( A_f T_f + \frac{A_p Dv}{2e} \frac{\partial P}{\partial x} \right) [N]^T dx + ([N]^T A_p E (\tau \dot{u}' + u')) \end{aligned} \quad (پ.2)$$

$$\begin{aligned} [m] &= \int_0^L m [N]^T [N] dx \\ [c] &= - \int_0^L 2 m_f V [N']^T [N'] dx + \int_0^L EI \tau [N'']^T [N''] dx \\ [k] &= \int_0^L EI [N'']^T [N''] dx - \int_0^L m_f V^2 [N']^T [N'] dx \\ \{f\} &= -([N]^T (EI(W'''' + \tau W^{i''}) + m_f V^2 W' + 2m_f V \dot{W})) + ([N']^T EI(w'' + \tau \dot{W}'')) \end{aligned}$$

در حالت مشابه با ترکیب دو سیستم بیان شده سیستم کلی زیر به دست می‌آید:

$$[M]\ddot{X}(t) + [c]\dot{X}(t) + [k]X(t) = \{F(t)\} \quad (7)$$

تابع بردار تغییر مکانهای دیواره  $X(t) = (u_1, w_1, \theta_1, u_2, w_2, \theta_2, \dots, u_n, w_n, \theta_n)^T$  که در رابطه‌ی بالا لوله در گره‌های المانها است.



تصویر 2. رابطه‌ی بین تابع خزش و دما.

برای تعیین پاسخهای دینامیکی دیواره‌ی لوله در یک جریان گذار، از روش ضمنی نیومارک استفاده می‌شود چرا که این روش دقیق و پایداری بالایی دارد.

## 5. کاربرد روش ارائه شده و نتایج

مقدار سرعت اولیه برابر بود با  $V=5m/s$  و همچنین هد پیزومتری در تانک  $H=0.5m$  می‌باشد، برای جریان گذاری آب در دمای 25 درجه سانتیگراد؛ مقدار ویسکوزیته‌ی سینماتیک آن  $10^{-6}$  متر مربع بر ثانیه و همچنین مقدار  $k$  برابر با  $2.1 \times 10^9$  پاسکال می‌باشد.

### 1.5. مدل کلاسیک

در حالت ویسکو‌الاستیک، نتایج ارائه شده در تصویر 2 از آزمایشگاه مکانیک سیالات I.N.S.A لیون بر روی خط لوله پلی اتیلنی انجام شده به دست آمده اند.

داده‌های لوله‌ی مورد نظر به این صورت هستند:  $\rho_m = 1350 kg/m^3$  ،  $e=4.2mm$  ،  $D=50mm$  ،  $L=43.1m$

$$v = 43.930 kg/m^3$$

$$J(t) = J_0 + \sum_{i=1}^3 J_i (1 - \exp(-t/\tau_i)), \quad J_0 = 1.542 \times 10^{-9} \text{ Pa}^{-1}, \quad J_1 = 0.754 \times 10^{-9} \text{ Pa}^{-1}$$

$$J_2 = 1.046 \times 10^{-9} \text{ Pa}^{-1}, \quad J_3 = 1.237 \times 10^{-9} \text{ Pa}^{-1}, \quad \tau_1 = 0.89 \times 10^{-4} \text{ s}, \quad \tau_2 = 0.022 \text{ s}, \quad \tau_3 = 1.864 \text{ s}$$

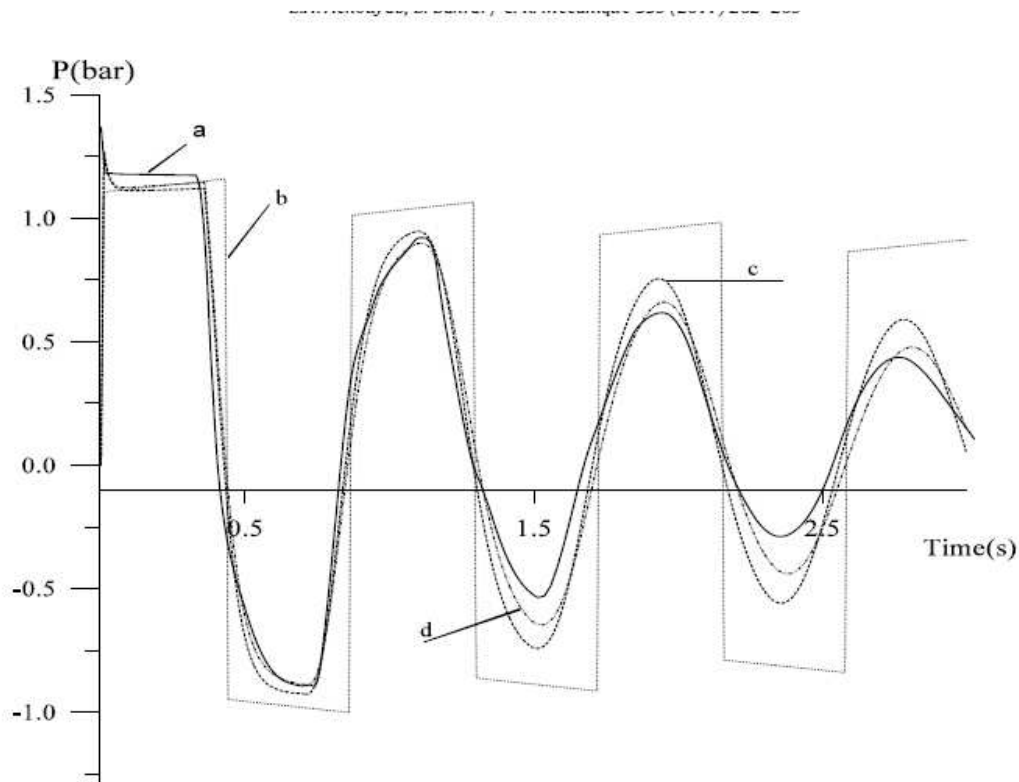
نتایج ارائه شده در تصویر 3 به ترتیب متناظرند با:

-نمودار a : نتایج اندازه گیری.

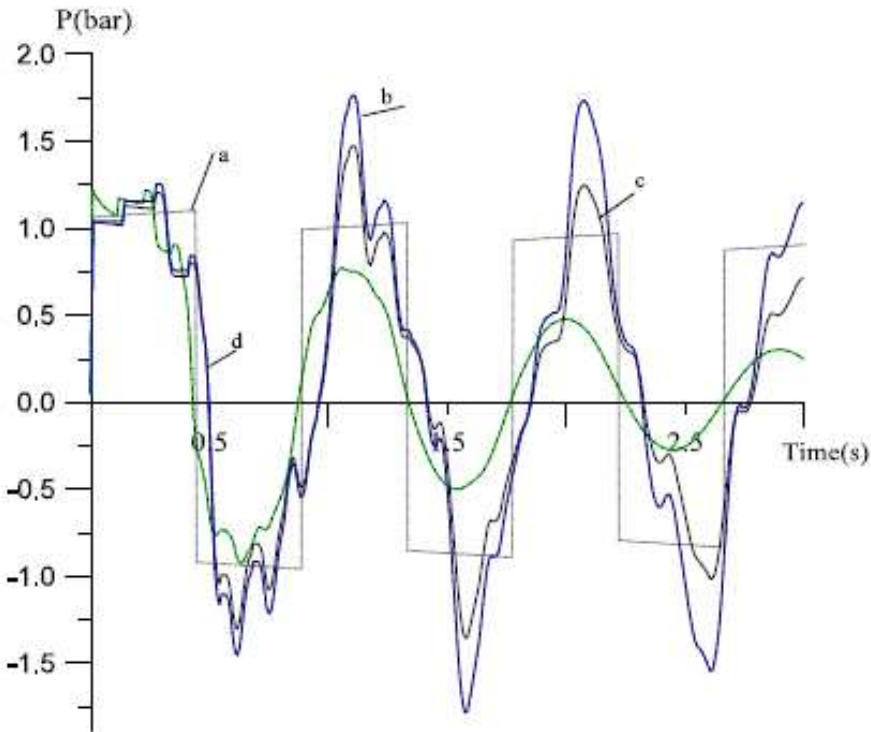
-نمودار b : محاسبه‌ی تئوری در حالت رفتار ارجاعی تحت شرایط ذکر شده در بالا، افتها متناظرند با یک ترم اصطکاک ثابت.

-نمودار c : محاسبات تئوری در حالت ویسکو‌الاستیک، افتها در اینجا نیز مربوط می‌شوند به عبارت اصطکاک ثابت.

-نمودار d : محاسبات تئوری در حالت ویسکو‌الاستیک، همچنان تحت همان شرایط، با این تفاوت که در اینجا قسمت متغیر عبارت اصطکاک در نظر گرفته می‌شود.



**تصویر 3.** تعیین پاسخ فشار در انتهای پایین دست لوله‌ی پلی‌اتیلنی هنگام بسته شده ناگهانی دریچه با استفاده از مدل کلاسیک – مقایسه نتایج بدست آمده بر اساس نظریه‌ی بیان شده با نتایج آزمایش در دمای 25 درجه سانتیگراد.

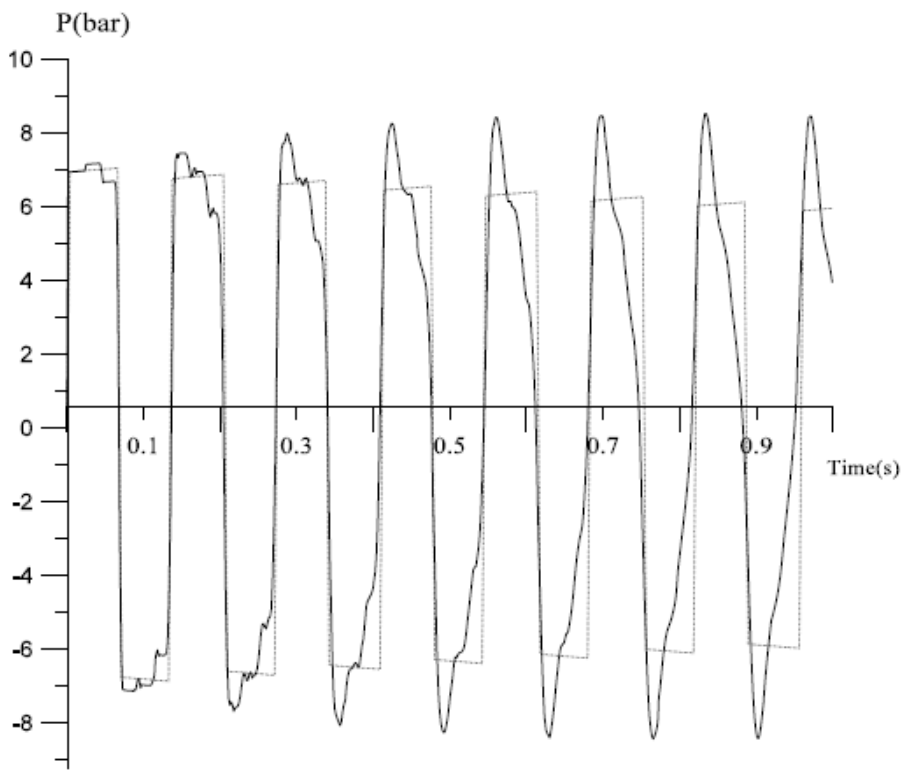


**تصویر 4.** پاسخ فشار در انتهای پایین دست لوله‌ی پلی‌اتیلنی هنگام بسته شده ناگهانی دریچه.

## 2.5. مدل اندرکنش سازه – سیال

در این حالت محاسبات برای یک لوله پلی‌اتیلنی و یک لوله مسی انجام شدند. نتایج عددی در تصاویر 4 و 5 نشان داده شده‌اند. تصویر 4 که مطابق با لوله‌ی پلی‌اتیلنی است، نمودارها به ترتیب متناظرند با:

- نمودار *a* : نظریه کلاسیک.
- نمودارهای *b* ، *c* و *d* : مدل اندرکنش سیال – سازه در حالت الاستیک: *b* و حالت‌های ویسکوالاستیک: *c* و *d*.



تصویر 5. پاسخ فشار در انتهای پایین دست یک لوله ی صلب (مسی) هنگام بسته شدن ناگهانی یکی از دریچه ها.

در تصویر 5 نیز برای بررسی تغییرات فشار نسبت به زمان در محل دریچه همان شرایط برقرار است، جایی که در آن رفتار ارجاعی به طور کامل حکم‌فرما بوده و صلبیت لوله نیز بیشتر می‌باشد که داده‌های مربوط به آن عبارتند از

$$v=33, \rho_m = 8920 \text{ kg/m}^3, E=1.2 \times 10^{11} \text{ Pa}, e=1 \text{ mm}, D=20 \text{ mm}, L=26 \text{ m}$$

همانگونه که مشاهده می‌کنیم این تصویر مشابه تصویر قبل است با این تفاوت که در این تصویر میزان نوسانات فشار کم است.

## 6. نتیجه گیری

در این مطالعه ما تلاش کردیم، که برای محاسبه ی گذرها در لوله‌های الاستیک و ویسکوالاستیک یک مدل عددی مبتنی بر اندرکتش سازه و سیال ارائه کنیم. این مدل تغییر شکل دیواره ی لوله و رفتار دینامیکی آنرا شامل می‌شود. بر عکس نظریه کلاسیک، با استفاده از این روش می‌توان پدیده ی قوچ را با دقت بالایی پیش‌بینی نمود. با استفاده از این روش می‌توان اختلالات اضافی را که در اثر انتشار موج در لوله ایجاد می‌شوند را به خوبی مشاهده

نمود. این اختلالات در یک اندرکنش پیچیده به اختلال اصلی اضافه می شوند. مقدار فشار حاصل از موج ترکیبی می تواند نسبتاً زیاد باشد. وسیکوزیته ای سیال و همچنین ماهیت ویسکوالاستیک ماده باعث میرایی امواج فشاری می گردد. از این مدل می توان برای پیش بینی ارتعاشات صوتی در لوله های صنعتی استفاده نمود و به علاوه، می توان برای بیماری که مربوط به شریانهای بدن باشد، این مدل را شبیه سازی نموده و از آن استفاده نمود.



این مقاله، از سری مقالات ترجمه شده رایگان سایت ترجمه فا میباشد که با فرمت PDF در اختیار شما عزیزان قرار گرفته است. در صورت تمایل میتوانید با کلیک بر روی دکمه های زیر از سایر مقالات نیز استفاده نمایید:

✓ لیست مقالات ترجمه شده

✓ لیست مقالات ترجمه شده رایگان

✓ لیست جدیدترین مقالات انگلیسی ISI

سایت ترجمه فا؛ مرجع جدیدترین مقالات ترجمه شده از نشریات معترض خارجی